分光光度法测定酸菜中亚硝酸盐含量的不确定度评定

吴 迪1,刘笑笑1,2,王 莹1,2,魏春雁1,2*

(1. 吉林省农业科学院,长春 130033;2.农业农村部农产品质量安全风险评估实验室(长春),长春 130033)

摘 要:依据 JJF1059.1-2012《测量不确定度评定与表示》和 CNAS-GL-06《化学分析中不确定度的评估指南》,建立了分光光度法测定酸菜中亚硝酸盐含量的不确定度评定数学模型。分析测定过程中各不确定度的来源,计算各不确定度分量,合成相对不确定度和扩展不确定度。评定结果表明,分光光度法测定酸菜中亚硝酸盐含量平均值为6.21 mg/kg,扩展不确定度为0.322 mg/kg,取值结果为 X=(6.21±0.322)mg/kg;不确定度的主要来源是标准曲线绘制,在测定酸菜中亚硝酸盐的过程中,选择标准曲线的相关系数 r≥0.997。

关键词:不确定度评定;酸菜;亚硝酸盐含量;分光光度法

中图分类号:TS255

文献标识码:A

文章编号:2096-5877(2020)05-0107-05

Uncertainty Evaluation of Determination of Nitrite Content in Pickled Cabbage by Spectrophotometry

WU Di¹, LIU Xiaoxiao^{1,2}, WANG Ying^{1,2}, WEI Chunyan^{1,2}*

(1. Jilin Academy of Agricultural Sciences, Changchun 130033; 2. Risk Assessment Lab of Agro-products Quality and Safety (Changchun), Ministry of Agriculture and Rural Affairs, Changchun 130033, China)

Abstract: According to JJF1059.1–2012 Evaluation and Expression of Measurement Uncertainty and CNAS-GL-06 Evaluation Guide of Uncertainty in Chemical Analysis, a mathematical model for the evaluation of uncertainty in the determination of nitrite in pickled cabbage by spectrophotometer was established. The sources of uncertainty in the process of measurement were analyzed, and the components of uncertainty were calculated, and the relative uncertainty and the expanded uncertainty were synthesized. The results showed that the mean value of nitrite in spectrophotometer was 6.21 mg/kg, the expanded uncertainty was 0.322 mg/kg, and the value was X (6.21 \pm 0.322) mg/kg. The main source of uncertainty is the drawing of standard curve. In the process of determining nitrite in pickled cabbage, the correlation coefficient $r \ge 0.997$ is selected.

Key words: Uncertainty evaluation; Pickled cabbage; Nitrite content; Spectrophotometry

亚硝酸盐是公认的一种强促癌物质[11],许多国家在食品加工行业严格控制其使用量,并积极寻求降低食品中亚硝酸盐含量的方法与途径。酸菜是深受东北人民喜爱的蔬菜发酵品,但发酵过程中形成亚硝酸盐是不可避免的[2-3]。因此,从食品安全的角度,掌握酸菜中亚硝酸盐含量、对酸菜中亚硝酸盐含量进行准确测定及对测定方法的不确定度进行评定十分必要。

测量不确定度评定与检测结果的合格判定直

接相关^[4],对量值溯源和方法确认具有重要意义^[5]。国家标准《检测和校准实验室能力的通用要求》^[6]规定,当客户有需求,必须提供测定结果的不确定度。

本文依据 JJF1059.1-2012《测量不确定度评定与表示》^[7]和 CNAS-GL-06《化学分析中不确定度的评估指南》^[8]规定的方法和程序,对分光光度法测定酸菜中亚硝酸盐含量的不确定度进行评定,分析影响测定结果准确性的各种因素,以期在相关检测过程中尽量减少不准确性影响,提高检测质量。

收稿日期:2019-05-15

基金项目:吉林省农业科技创新工程项目(CXGC2018ZY004)

作者简介:吴 迪(1988-),女,研究实习员,硕士,主要从事农产 品质量安全研究。

通讯作者:魏春雁,女,博士,研究员,E-mail: wchy@yeah.net

1 材料与方法

1.1 材料

酸菜(挑选无腐烂、无病虫害且成熟的白菜, 自制发酵第14天的酸菜)。

1.2 试剂

亚硝酸钠标准品(纯度>98%):上海甄准生物科技有限公司;亚铁氰化钾、乙酸锌(分析纯):天津光复精细化工研究所;冰乙酸(优级纯):上海国药;盐酸萘乙二胺、对氨基苯磺酸(分析纯):国药集团化学试剂有限公司;硼酸钠(分析纯):天津海通化工国际贸易有限公司;实验用水均为超纯水。亚铁氰化钾溶液(106 g/L):称取 106.0 g亚铁氰化钾,用水溶解,并稀释至1 000 mL。乙酸锌溶液(220 g/L):称取 220.0 g乙酸锌,先加 30 mL冰乙酸溶解,用水稀释至1 000 mL。饱和硼砂溶液(50 g/L):称取 5.0 g硼酸钠,溶于100 mL热水中,冷却后备用。对氨基苯磺酸溶液(4 g/L):称取 0.4 g对氨基苯磺酸,溶于100 mL 20%盐酸中。盐酸萘乙二胺溶液(2 g/L):称取 0.2 g盐酸萘乙二胺,溶于100 mL水中。

1.3 仪器

T6新世纪分光光度计:北京普析通用仪器有限责任公司;BT 124S电子天平(±0.000 1 g):中国赛多利斯科学仪器(北京)有限公司;HH.S011.Cu6电热恒温水浴锅:中国大连医疗器械厂;VF 611超纯水系统:德国SARTORIUS公司。

1.4 方法

1.4.1 原理

在弱酸条件下,亚硝酸盐与对氨基苯磺酸重氮化后,再与盐酸萘乙二胺偶合形成紫红色染料,在538 nm波长下有最大吸收,采用外标法定量。

1.4.2 待测液制备

准确称取匀浆样品 5.0 g,置于 150 mL具塞磨口三角瓶中,加 12.5 mL饱和硼砂溶液,加入 70℃水 150 mL,混匀,电热恒温水浴锅中加热 15 min,取出置冷水浴(0℃)中冷却,并放置至室温,定量转移上述提取液至 200 mL容量瓶中,加入 5 mL亚铁氰化钾溶液,摇匀,再加入 5 mL乙酸锌溶液,加水至刻度,摇匀,放置 30 min,中性滤纸过滤,得到待测液,备用。吸取 40.0 mL上述滤液于 50 mL具塞比色管中,加入 2.0 mL对氨基苯磺酸溶液,混匀,静置反应 3~5 min后加入 1.0 mL盐酸萘乙二胺溶液,加水至刻度,混匀,静置反应 15 min,得样品反应液,立即上机测定。

1.4.3 标准曲线制备

准确称取110~120℃干燥恒重的亚硝酸钠

0.100 g,加水溶解,移入500 mL容量瓶,加水稀释至刻度,混匀,得到浓度为200μg/mL的亚硝酸钠标准储备液。吸取2.5 mL亚硝酸钠标准储备液,置于100 mL容量瓶中,加水至刻度,混匀,得到浓度为5.0μg/mL的亚硝酸钠标准中间液,临用现配。

依次吸取标准中间液 0.00、0.20、0.40、0.60、0.80、1.00、1.50、2.00、2.50 mL,分别置于 50 mL具塞比色管中,各加入 2.0 mL对氨基苯磺酸溶液,混匀,静置反应 3~5 min后加入 1.0 mL盐酸萘乙二胺溶液,加水至刻度,混匀,静置反应 15 min,得到亚硝酸钠系列标准反应液。立即用 1 cm 比色杯,以零号管调节零点,测定各标准反应液吸光度值,以亚硝酸盐质量为横坐标、吸光度值为纵坐标绘制标准曲线。

2 结果与分析

2.1 不确定度分析

2.1.1 数学模型的建立

亚硝酸盐含量计算公式:

$$X = \frac{m_1 \times 1000}{m_2 \times \frac{V_1}{V_2} \times 1000}$$

式中: X 为试样中亚硝酸盐的含量(mg/kg), m_1 为样品反应液中亚硝酸钠的质量(μg), 1000为转换系数, m_2 为试样质量(g), V_1 为吸取待测液体积(mL), V_0 为待测液总体积(mL)。

2.1.2 不确定度的来源

根据 JJF1059.1-2012《测量不确定度评定与表示》^[7],按照检测流程和数学模型,不确定度的来源见图 1。

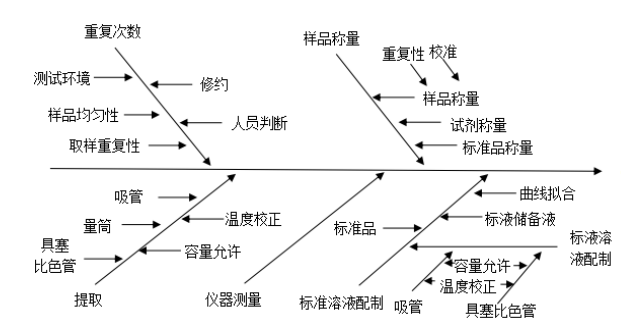


图 1 不确定度来源与分析

2.2 不确定度分量的评定

2.2.1 重复次数引入的不确定度

采用同一酸菜样品同一检验员重复处理测定 10次,用标准偏差评定样品前处理产生的不确定 度,测定结果见表1。

检测参数	重复次数P									
	1	2	3	4	5	6	7	8	9	10
亚硝酸盐	6.20	6.23	6.21	6.20	6.23	6.21	6.20	6.22	6.21	6.23
	平均值:6.21 mg/k		ng/kg	标准偏差: 0.012 6 mg/kg						

表 1 酸菜中亚硝酸盐含量测定结果

由表1计算 $\mu(f)$ 和 $U_{rel}(f)$ 为:

$$\mu(f) = \sqrt{\frac{\sum_{i=1}^{10} (X_i - \overline{X})^2}{10 \times (10 - 1)}} = \sqrt{\frac{0.00144}{90}}$$
$$= 0.004 (\text{mg/kg})$$
$$U_{rel}(f) = \frac{0.004}{6.21} = 0.000644$$

2.2.2 样品称量引入的不确定度

样品称量引入的不确定度主要是电子天平。电子天平最大允许误差为 $\pm 0.15 \, mg$,按矩形分布计算,则电子天平引入的不确定度 $\mu(M_1)$ 为:

$$\mu(M_1) = \frac{a}{k} = \frac{0.15 \text{ mg}}{\sqrt{3}} = 0.086 6 \text{ mg}$$

电子天平引入的相对不确定度 $U_{rel}(\mathbf{M}_1)$ 为:

$$U_{rel}(M_1) = \frac{\mu(M_1)}{m_1} = \frac{0.0866 \, \text{mg}}{5000 \, \text{mg}} = 0.0000172$$

2.2.3 提取过程引入的不确定度

提取过程中引入的不确定度主要是容量器具(1 mL吸管、5 mL吸管、50 mL具塞比色管、50 mL

量筒和200 mL容量瓶),根据JJG 196-2006《常用玻璃量器检定规程》^[9],其不确定度和相对不确定度计算结果见表2。

$$\begin{split} U_{\mathit{rel}}\!\left(C_{\cancel{\!\#}}\right) &= \\ &\sqrt{\left[U_{\mathit{rel}}\!\left(v_{1\cancel{\!\#}}\right)\right]^2 + \left[U_{\mathit{rel}}\!\left(v_{5\cancel{\!\#}}\right)\right]^2 + \left[U_{\mathit{rel}}\!\left(v_{50\cancel{\!\#}}\right)\right]^2 + \left[U_{\mathit{rel}}\!\left(v_{200\cancel{\!\#}}\right)\right]} \end{split}$$

- 2.2.4 标准曲线绘制引入的不确定度
- 2.2.4.1 标准品纯度引入的不确定度

由亚硝酸钠标准物质证书可知,亚硝酸钠标准品纯度 \geq 98%,按正态分布计算,取 $\sqrt{3}$ 。标准品纯度引入的相对不确定度 $U_{rel}(\rho_1)$ 为:

$$U_{rel}(\rho_1) = \frac{100\% - 98\%}{\sqrt{3}} = 0.0116$$

2.2.4.2 标准储备液引入的不确定度

称量 $0.100 g 亚硝酸钠引入的相对不确定度 U_{cel}(m), 计算方法同 <math>2.2.2$ 。

$$U_{rel}(m) = \frac{0.0866 \,\mathrm{mg}}{100 \,\mathrm{mg}} = 0.000866$$

表 2 容量器具引入的相对不确定度

项目	容量允差 (mL)	容量校正不确定度 (mL) , $V_{(容量)}$,按正态分布,取 $\sqrt{3}$	图序或 15.71 1 1 1 4 和 录 15 4 7 7 7 7 7 序	相对不确定度	
			温度变化引入体积变化的不确定度 $(mL), V_{(\underline{alg})},$	$U_{rel\left(\overrightarrow{\text{krE}}\right)} = \frac{\sqrt{V_{\left(\overrightarrow{\text{PSE}}\right)}^2 + V_{\left(\overrightarrow{\text{alg}}\right)}^2}}{V}$	
1 mL吸管	0.007	0.004 04	0.000 63	0.004 09	
5 mL吸管	0.015	0.008 66	0.003 15	0.001 84	
50 mL量筒	0.50	0.288 68	0.031 50	0.005 81	
50 mL具塞比色管	0.50	0.288 68	0.031 50	0.005 81	
200 mL容量瓶	0.15	0.086 603	0.121 24	0.000 745	
500 mL容量瓶	0.25	0.144 338	0.303 109	0.000 671	

配制标准储备液使用了 500 mL 容量瓶,引入的相对不确定度 $U_{\text{rel}}(v_{500})$ 见表 2 。

$$U_{rel}(v_{500}) = 0.000671$$

$$U_{rel}(\rho_2) = \sqrt{\left[U_{rel}(m)\right]^2 + \left[U_{rel}(v_{500})\right]^2}$$
$$= \sqrt{0.000866^2 + 0.000671^2} = 0.00110$$

2.2.4.3 标准工作液配制引入的不确定度 配制标准曲线过程中使用了1 mL吸管、5 mL 吸管和 50 mL 具塞比色管,各自引入的相对不确定度见表 2。配制标准工作液引入的相对不确定度 $U_{\text{rel}}(\rho_3)$ 为:

$$U_{rel}(\rho_3) = \sqrt{\left[U_{rel}(v_{1})\right]^2 + \left[U_{rel}(v_{5})\right]^2 + \left[U_{rel}(v_{5})\right]^2}$$

$$= 0.007.34$$

2.2.4.4 标准曲线及标准曲线拟合引入的不确定度

亚硝酸盐标准曲线见图2,当亚硝酸盐质量在0

~12.5µg时,y=0.0121x+0.0035,r=0.9984,线性关系

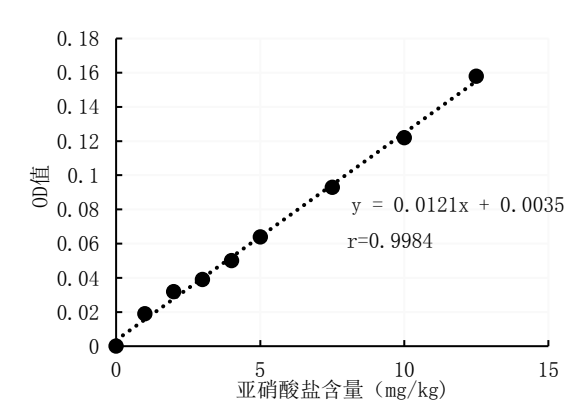


图2 亚硒酸盐标准曲线

良好。

采用最小二乘法对拟合标准曲线引入的不确 定度进行评定,标准溶液中亚硝酸盐质量一吸光 度结果及计算见表3。

$$\overline{M}_{0i} = 5 \mu g$$

标准曲线剩余标准差为:

$$SR = \sqrt{\frac{\sum_{i=1}^{n} (\overline{Y}_{0i} - Y_{0i})^{2}}{n-2}} = 0.08679$$

标准曲线拟合引入的不确定度为:

表3 标准溶液中亚硝酸盐质量一吸光度结果及计算

	M _{0i} (μg)	$\overline{\overline{\mathrm{Y}}}_{0\mathrm{i}}$	Y_{0i}	$(\mathbf{M}_{0i} - \overline{\mathbf{M}}_{0i})^2$	$(\overline{Y}_{0i} - Y_{0i})^2$
71, 4	Ψιοί (μg)				
1	0	0.00	0.003 5	25	0.000 012 3
2	1	0.019	0.003 7	16	0.000 233 2
3	2	0.032	0.003 9	9	0.000 790 3
4	3	0.039	0.004 0	4	0.001 227 0
5	4	0.05	0.004 1	1	0.002 106 4
6	5	0.064	0.004 3	0	0.003 567 1
7	7.5	0.093	0.004 6	6.25	0.007 810 1
8	10	0.122	0.005 0	25	0.013 694 6
9	12.5	0.158	0.005 4	56.25	0.023 283 2

注:M:待测样品溶液质量平均值(μ g);M₀:标准曲线系列质量平均值(μ g);M₀:各标准溶液质量值(μ g);P:样品测定重复次数(P=10);n:工作曲线的点数(n=9); \overline{Y} ₀:各标准溶液的实际测定值平均值;Y₀:各标准溶液的吸光度计算值

$$\mu(C_{\text{HM}}) = \frac{SR}{b} \sqrt{\frac{1}{P} + \frac{1}{n} + \frac{\left(\overline{M} - \overline{M}_{0i}\right)^{2}}{\sum_{i=1}^{n} \left(M_{0i} - \overline{M}_{0i}\right)^{2}}} = 0.1229$$

标准曲线拟合引入的相对不确定度为:

$$U_{rel}(C_{\sharp \chi}) = \frac{\mu(C_{\sharp \chi})}{C} = 0.01979$$

绘制标准曲线合成相对不确定度为:

$$U_{rel}\left(C_{\cancel{l}\cancel{k}\cancel{k}}\right) = \sqrt{U_{rel}^2(\rho_1) + U_{rel}^2(\rho_2) + U_{rel}^2(\rho_3) + U_{rel}^2(C_{\cancel{l}\cancel{k}\cancel{k}})}$$
$$= 0.024.1$$

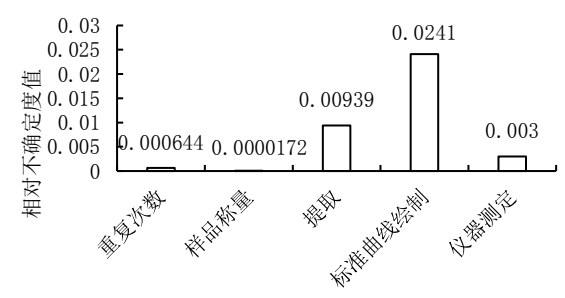
2.2.5 仪器测量引入的不确定度

由仪器检定证书可知,透射比 0.06%(K=2), 仪器引入的相对不确定度为:

$$U_{rel}(C_{\text{fX}}) = \frac{0.006}{2} = 0.003$$

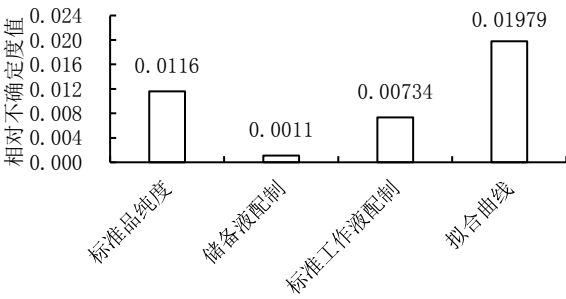
2.3 酸菜中亚硝酸盐含量测定的合成不确定度 和扩展不确定度

合成不确定度U_{rel(单)}为:



合成相对不确定度分量

图 3 合成相对不确定度分量比较



标准曲线绘制相对不确定度分量

图 4 绘制标准曲线相对不确定度分量比较

酸菜中亚硝酸盐含量为6.21 mg/kg, 合成标准 不确定度为:

 $U_{rel(\triangle ik)} = X \times U_{rel(\triangle i)} = 6.21 \times 0.0260 = 0.161 \text{ mg/kg}$ 扩展不确定度 U 为:

$$U = kU_{rel(\triangle m)} = 2 \times 0.161 = 0.322 (mg/kg)$$

2.4 不确定度分量影响比较

各不确定度分量的比较结果见图3和图4。

3 结 论

分光光度法测定酸菜中亚硝酸盐含量结果为 6.21 mg/kg (n=10),扩展不确定度为 0.322 mg/kg, 取值范围为 X=(6.21±0.322) mg/kg。

测定过程中引入不确定度的各分量因素所占 比例顺序为:标准曲线绘制>提取>仪器测量>重 复次数>样品称量。

标准曲线绘制引入的不确定度是导致扩展不

 $U_{rel(\stackrel{.}{\boxtimes})} = \sqrt{U_{rel}^2(f) + U_{rel}^2(M_1) + U_{rel}^2(C_{\frac{R}{B}}) + U_{rel}^2(C_{\frac{1}{K}}) + \underbrace{0.026}_{rel} \underbrace{ }_{\ell_1} \underbrace{ }_{\ell_2} \underbrace{ }_{\ell_3} \underbrace{ }_{\ell_4} \underbrace{ }_{\ell_5} \underbrace$ 曲线过程中引入的不确定度所占比例最大,因 此,在测定酸菜中亚硝酸盐含量的过程中,选择 标准曲线的相关系数 r≥0.997。

参考文献:

- [1] 吴慧昊,牛 锋,陈珊珊,等.高效降亚硝酸盐乳酸菌的驯 化复筛及菌株鉴定[J]. 食品科学, 2016, 37(19): 160-165.
- [2] 黄丽慧,张 雁,陈干陇,等.发酵蔬菜中亚硝酸盐消长规 律及调控技术的研究进展[J]. 食品科学, 2013, 34(5): 303-
- [3] 万素英,李琳,王慧君,等.食品防腐和食品防腐剂[M]. 北京:中国轻工业出版社,2000:110-118.
- [4] 华晶忠,于 丽,刘笑笑,等.发酵樱菜中菌落总数平板计 数结果不确定度的评定[J]. 东北农业科学, 2019, 44(3):
- [5] 刁银军,刘 莉,肖珊美,等. UPLC-MS/MS 法测定元胡中4 种有机磷农药残留的不确定度评定[J]. 安徽农业科学, 2018,46(6):157-161.
- [6] 中华人民共和国国家质量监督检验检疫总局,中国国家标

(上接第74页)肌肉细胞仍然存活,但血液循环停 止,氧气不足,只能启动糖酵解供能,而糖酵解生 成丙酮酸可导致肌肉 pH下降^[8]。当 pH₂₄>6.0 时, 肉色发紫且表面干燥,判定为DFD肉回。本地黑 猪与集鲜黑猪 pH₂均小于 6.0, 在正常范围。大理 石纹影响肌肉的嫩度、口感等指标,与肌内脂肪 呈正相关,大理石纹评分越高,肌内脂肪含量越 高,肌肉越嫩。肌内脂肪含量对肌肉的风味、嫩 度和多汁性等食用品质有重要影响[10]。本研究 中,集鲜黑猪大理石纹评分、肌内脂肪含量、嫩度 较本地黑猪稍有降低,但均保持相关性。可能是 集鲜黑猪中含有巴克夏猪基因的缘故。也有研究 表明很难单纯提高胴体的瘦肉率而不降低肌内脂 肪含量[11],现在育种工作只能使瘦肉率与肌内脂 肪更趋于一个合理的范围。

4 结 论

巴克夏猪血统的导入提高了集鲜黑猪的生长 速度,同时提高了瘦肉率,降低背膘厚,改变了集 安本地猪体质过肥,生长速度慢,料肉比高的缺 点,同时又保留了集安本地猪肉质好的优点,使 集鲜黑猪向优质瘦肉型猪品种方向发展。

参考文献:

- [1] 张书亮.生猪延迟出栏原因及对策[J].中国畜牧兽医文摘, 2013,29(2):80.
- [2] 陶 璇,杨雪梅,梁 艳,等.巴克夏猪选育进展报告[J].畜 牧与兽医,2014,46(8):46-49.
- [3] 李文通,刘 颖,周 荣,等.江泉黑猪与杜长大三元杂交 猪屠宰性能及肉质性状比较分析[J]. 中国畜牧兽医, 2017, 44(7):2057-2064.
- [4] 张树敏. 松辽黑猪种质特性的研究[D]. 长春: 吉林大学,
- [5] 和军飞,黄 涛,孙艳洋,等.影响杜长大商品猪胴体评级 的性状分析[J]. 畜牧与兽医, 2020, 52(5): 1-6.
- [6] 巫婷婷,赵书红,胡军勇,等.猪肌肉颜色测定方法与结果 表述的研究[J].河南农业科学,2018,47(10):125-129.
- [7] 周 波,黄瑞华,曲 亮,等.色差仪和肉色板在猪肉肉色 评定中的应用[J]. 江苏农业科学, 2007(2): 121-124.
- [8] 刘秋凤,张龙超,侯欣华,等.宰后猪肌肉糖酵解与肉质性 状的相关性分析[J]. 黑龙江畜牧兽医, 2019(22): 34-37, 41.
- [9] 朱 吉,谢菊兰,刘 建,等.巴克夏与湘村黑猪正反交后 代肉质性状及肉品成分的比较分析[J]. 养猪,2016(4):57-
- [10] 李 娜,李兆华,赵晓东,等.吉松配套系选育研究初报[J]. 吉林农业科学,2010,35(5):41-42,45.
- [11] 于永生,李兆华,罗晓彤,等.松辽黑猪肌内脂肪沉积相关 基因的筛选[J]. 东北农业科学, 2016, 41(1): 91-94.

(责任编辑:王丝语)